

УДК 537.312.8-538.113

©1994

**МАГНИТНЫЙ ФАЗОВЫЙ ПЕРЕХОД  
В СВЕРХПРОВОДНИКАХ Y-СИСТЕМЫ,  
ЛЕГИРОВАННЫХ Ga И La, ПО ДАННЫМ ЭПР**

*B.Ф.Мастеров, И.Л.Лихолит, И.Б.Патрина, М.В.Разумеенко,  
Н.П.Баранская, О.А.Красная, В.В.Исаев-Иванов*

Исследованы спектры ЭПР керамических образцов в системах  $\text{YBa}_{2-x}\text{La}_x\text{Cu}_3\text{O}_y$  и  $\text{Y}_{1-x}\text{Ga}_x\text{Ba}_{1.5}\text{La}_{0.5}\text{Cu}_3\text{O}_y$  при  $0 \leq x \leq 0.5$  в широком температурном интервале 3–300 К в диапазоне  $\lambda \sim 3$  см. Анализ параметров и температурно-концентрированных зависимостей спектров ЭПР твердых растворов и возможных Cu-содержащих примесных фаз показал, что в основной фазе твердых растворов присутствуют ЭПР-активные ионы  $\text{Cu}^{2+}$ . Наблюдается корреляция между интегральной интенсивностью спектра этих ионов и содержанием кислорода в образце. ЭПР-активные ионы  $\text{Cu}^{2+}$  отнесены к плоскостям  $\text{CuO}_2$  структуры. Локализация спинов обусловлена, по-видимому, изменением кристаллических полей локального окружения атомов меди вследствие изменения заселенности кислородных позиций в плоскости  $\text{CuO}_x$ . Резкое увеличение интегральной интенсивности линии ЭПР в области  $T < 12$  К по закону  $J \sim (T - T_c^*)^{-n}$  с  $n = 1.3$ ,  $T_c^* \approx 3$  К соответствует температурной зависимости статической магнитной восприимчивости  $\chi_c$  в области магнитного фазового перехода.

Основным состоянием меди в ее сложных оксидах является состояние  $\text{Cu}^{2+}$ . Для Y-системы (123) это состояние однозначно определено для атомов меди в плоскости  $\text{CuO}_2$  (см., например, [1]). Тем не менее ЭПР меди в соединении  $\text{YBa}_2\text{Cu}_3\text{O}_7$  не наблюдается, что, очевидно, объясняется образованием  $d$ -состояниями меди энергетической зоны и как следствие высокой скоростью спин-решеточной релаксации электронных спинов.

Дефицит кислорода в Y-системе (123) приводит к появлению сильно анизотропного сигнала магнитного резонанса при температурах ниже 40 К, который объясняется возникновением областей магнитного упорядочения (см., например, [2] и цитированную там литературу).

В настоящей работе приведены результаты исследования ЭПР  $\text{Cu}^{2+}$  в соединениях Y-системы, содержащих избыток кислорода ( $\text{YBa}_{2-x}\text{La}_x\text{Cu}_3\text{O}_{7+\delta}$  и  $\text{Y}_{1-x}\text{Ga}_x\text{Ba}_{1.5}\text{La}_{0.5}\text{Cu}_3\text{O}_{7+\delta}$ ), и показано, что в этих соединениях также наблюдается магнитный фазовый переход при температуре ниже 10 К. При этом имеет место резкое уменьшение сигнала микроволнового поглощения.

При исследовании ЭПР в сверхпроводящих оксидах меди и в Y-системе, в частности, необходимо обращать внимание на возможное присутствие других фаз, в которых медь находится в двухвалентном состоянии ( $\text{Y}_2\text{BaCuO}_5$ ,  $\text{BaCuO}_2$  и реже  $\text{Y}_2\text{Cu}_2\text{O}_5$ ). К сожалению,

имеющиеся в литературе данные по ЭПР-спектрам этих соединений противоречивы (например, [3,4]). Поэтому нами синтезировались фазы  $\text{Y}_2\text{BaCuO}_5$  и  $\text{BaCuO}_2$  в тех же технологических условиях, что и Y-система, и исследовались формы линии и температурные зависимости интенсивностей спектров ЭПР  $\text{Cu}^{2+}$  в этих соединениях. В соответствии с литературными данными магнитный фазовый переход в области  $T \sim 12$  К наблюдается только в  $\text{Y}_2\text{BaCuO}_5$  (зеленая фаза). При этом происходит антиферромагнитное упорядочение, сопровождающееся исчезновением спектра ЭПР  $\text{Cu}^{2+}$ . В то же время в образцах Y-системы при температурах  $T < 10$  К интенсивность спектра ЭПР резко возрастает, что свидетельствует о ферромагнитном характере упорядочения. Кроме того, при высоких температурах ( $\sim 200$  К) параметры и форма спектра ЭПР  $\text{Cu}^{2+}$  в указанных соединениях и в Y-системе значительно отличаются. Все это позволило нам считать, что наблюдаемый в Y-системе спектр ЭПР  $\text{Cu}^{2+}$  по крайней мере при  $T < 10$  К обусловлен центрами  $\text{Cu}^{2+}$  основной решетки сверхпроводника.

## 1. Синтез образцов и методика эксперимента

Керамические образцы систем твердых растворов  $\text{YBa}_{2-x}\text{La}_x\text{Cu}_3\text{O}_y$  ( $0 \leq x \leq 0.5$ ) и  $\text{Y}_{1-x}\text{Ca}_x\text{Ba}_{1.5}\text{La}_{0.5}\text{Cu}_3\text{O}_y$  ( $0 \leq x \leq 0.5$ ) получались по стандартной технологии методом твердофазового синтеза из оксидов иттрия, лантана и меди,  $\text{BaCO}_3$  и  $\text{CaCO}_3$  с последующим отжигом в атмосфере  $\text{O}_2$  при  $T = 400 \div 450$  °C в течение 8–10 h. Однофазность образцов контролировалась методами рентгенофазового анализа и визуальной микроскопии с точностью не ниже 1%. Параметры решетки твердых растворов определялись методом рентгеноструктурного анализа. Содержание кислорода в образцах определялось методом иодометрического титрования, точность определения кислородного индекса  $\pm(0.02 \div 0.03)$ .

Измерение спектров ЭПР проводилось на спектрометре RE-220D фирмы «Bruker» в интервале температур 3–300 К. Перед измерениями образцы измельчались в порошок с размером зерен не более  $10 \mu$  и помещались в запаянную кварцевую ампулу. Интегральная интенсивность линии определялась в соответствии с отношением  $J_{int} \sim \sim I_{pp}(\Delta H_{pp})^2$ . Температура перехода в сверхпроводящее состояние измерялась по температурной зависимости сигнала микроволнового поглощения на частоте  $\nu \sim 10$  GHz.

Контрольные спектры ЭПР-фаз  $\text{Y}_2\text{BaCuO}_5$  и  $\text{BaCuO}_2$  также исследовались в интервале температур 3–300 К.

## 2. Результаты эксперимента

Зависимость параметров элементарной ячейки кристаллической решетки твердых растворов  $\text{YBa}_{2-x}\text{La}_x\text{Cu}_3\text{O}_y$  (система I) и  $\text{Y}_{1-x}\text{Ca}_x\text{Ba}_{1.5}\text{La}_{0.5}\text{Cu}_3\text{O}_y$  (система II) от состава приведена на рис. 1.

Для системы I наблюдается плавное изменение параметров элементарной ячейки при изменении  $x$  от 0 до 0.3 с небольшим максимумом ромбичности в области  $x \sim 0.05 \div 0.1$ . При  $x > 0.3$  структура твердого

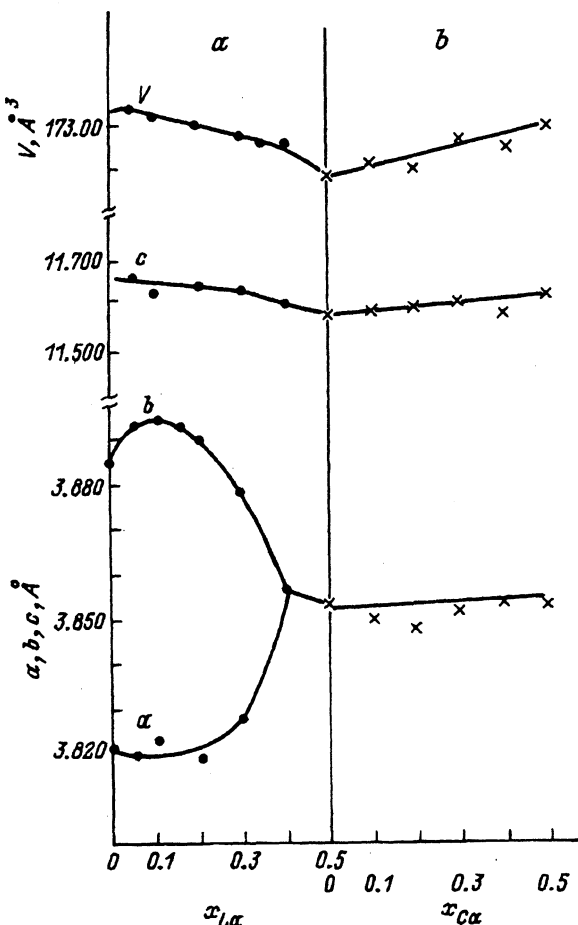


Рис. 1. Зависимость параметров и объема элементарной ячейки твердых растворов  $\text{YBa}_{2-x}\text{La}_x\text{Cu}_3\text{O}_y$  (a) и  $\text{Y}_{1-x}\text{Ca}_x\text{Ba}_{1.5}\text{La}_{0.5}\text{Cu}_3\text{O}_y$  (b) от состава.

раствора становится тетрагональной. Как показано на рис. 2, a (линия 1), с увеличением содержания La в системе I растет кислородный индекс, зависимость имеет линейный характер.

Параметры  $a = b$  элементарной ячейки системы II остаются практически неизменными во всем исследованном интервале концентраций Ca, параметр  $c$  возрастает с увеличением  $x$  (рис. 1), кислородный индекс при этом линейно уменьшается (рис. 2, b, кривая 1).

Зависимости температуры перехода  $T_c$  от содержания La в системе I и Ca в системе II приведены на рис. 2, a и б (кривые 2 и 2') соответственно.

Знак изменения параметра  $c$  в системах, а также уменьшение  $T_c$  с ростом концентрации лантана и восстановление  $T_c$  при введении Ca в совокупности с соответствующим изменением кислородного индекса свидетельствуют о замещении бария лантаном и иттрия кальцием. Действительно, 1) при изовалентном замещении ( $\text{Y}^{3+} \rightarrow \text{La}^{3+}$ ,  $\text{Ba}^{2+} \rightarrow \text{Ga}^{2+}$ ) нет причин для изменения содержания кислорода и 2) за-

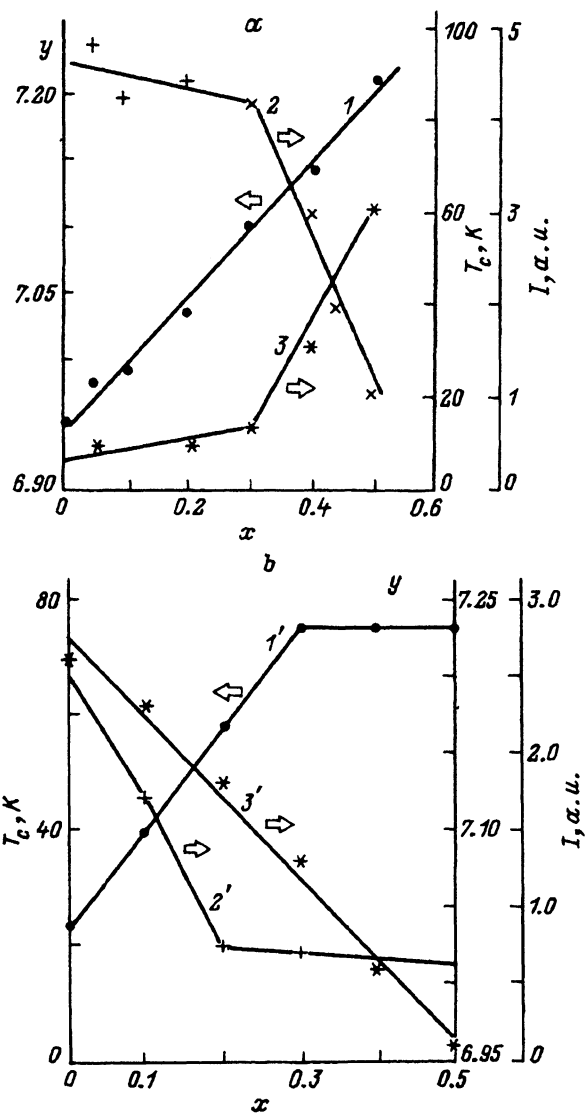


Рис. 2. Концентрационная зависимость кислородного индекса,  $(I, I')$ , температуры сверхпроводящего перехода  $(T_c, T'_c)$  и интегральной интенсивности спектра ЭПР  $(3, 3')$  для систем I (a) и II (b).

мена  $\text{Y}^3 \rightarrow \text{La}^{3+}$  не должна приводить к катастрофическому падению  $T_c$ .

Как видно из рис. 2, a (кривая 2), при увеличении концентрации La в системе I происходит медленное понижение  $T_c$  в области  $x < 0.3$ , а затем резкое падение  $T_c$  до  $\sim 20$  К при увеличении  $x$  до 0.5. Для системы I точка перелома на зависимости  $T_c(x)$  соответствует переходу структуры твердого раствора из орторомбической в тетрагональную. Однако в системе II структурный переход при замещении иттрия кальцием отсутствует (рис. 1), тем не менее перелом при  $x \approx 0.3$  также на-

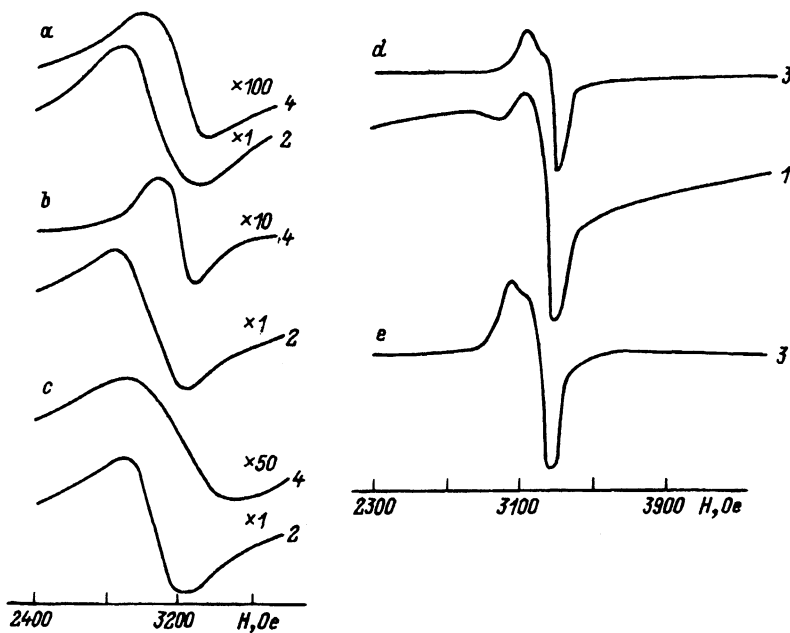


Рис. 3. Вид спектров ЭПР  $\text{YBa}_2\text{Cu}_3\text{O}_{6.95}$  (а),  $\text{YBa}_{1.8}\text{La}_{0.2}\text{Cu}_3\text{O}_{7.1}$  (б),  $\text{Y}_{0.7}\text{Ca}_{0.3}\text{Ba}_{1.5}\text{La}_{0.5}\text{Cu}_3\text{O}_{7.1}$  (в),  $\text{BaCuO}_2$  (д) и  $\text{Y}_2\text{BaCuO}_5$  (е).

блюдается на зависимости  $T_c(x)$ , правда; в этом случае при изменении  $x$  в интервале 0.3–0.5  $T_c$  остается постоянной  $\sim 78 \text{ K}$  (рис. 2, б, кривая 2'). Таким образом, изменение температуры перехода к сверхпроводимости при частичном замещении бария лантаном нельзя однозначно приписать переходу структуры твердого раствора из орторомбической в тетрагональную. Очевидно, существуют другие причины, предметом выяснения которых должно быть самостоятельное исследование.

Следует отметить, что существует определенная корреляция между резким падением (повышением)  $T_c$  в системах I (II) и столь же резким увеличением (уменьшением) параметризма твердых растворов (рис. 2, а, б, кривые 3 и 3') с изменением их составов, определяемого интенсивностью линии ЭПР.

На рис. 3 приведены спектры ЭПР отдельных образцов (систем I и II, а также соединений  $\text{Y}_2\text{BaCuO}_5$  и  $\text{BaCuO}_2$ ) при различных температурах, а на рис. 4 приведена температурная зависимость их интегральной интенсивности. Как видно из этих рисунков, форма линии и температурная зависимость ее интенсивности свидетельствуют о том, что в сверхпроводящих системах I и II спектр ЭПР обусловлен не ионами  $\text{Cu}^{2+}$  в фазах  $\text{Y}_2\text{BaCuO}_5$  и  $\text{BaCuO}_2$ . Мы не исследовали соединение  $\text{Y}_2\text{Cu}_2\text{O}_5$ , но, согласно [3], в нем при низких температурах, как и в зеленой фазе, наблюдается антиферромагнитный переход. Наши результаты по ЭПР в  $\text{BaCuO}_2$  несколько отличаются от результатов, изложенных в работе [3]; в частности, при  $T \approx 3.6 \text{ K}$  авторы [3] наблюдали только широкую линию с  $g = 2.17$  и  $\Delta H_{pp} = 1100 \text{ Gs}$ , в то время как в наших образцах этого соединения при  $T = 3 \text{ K}$  основной линией оставалась

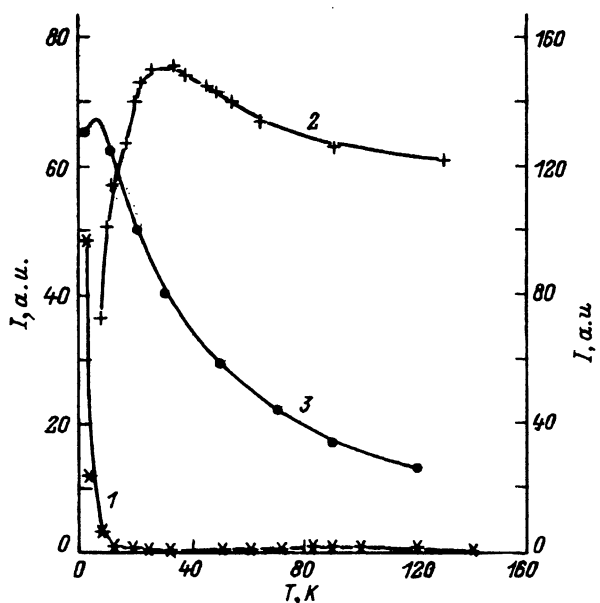


Рис. 4. Температурные зависимости интегральной интенсивности линий ЭПР  $\text{Cu}^{2+}$  в  $\text{Y}_{0.6}\text{Ca}_{0.4}\text{Ba}_{1.5}\text{La}_{0.5}\text{Cu}_3\text{O}_{7.01}$  (1),  $\text{Y}_2\text{BaCuO}_5$  (2) и  $\text{BaCuO}_2$  (3).

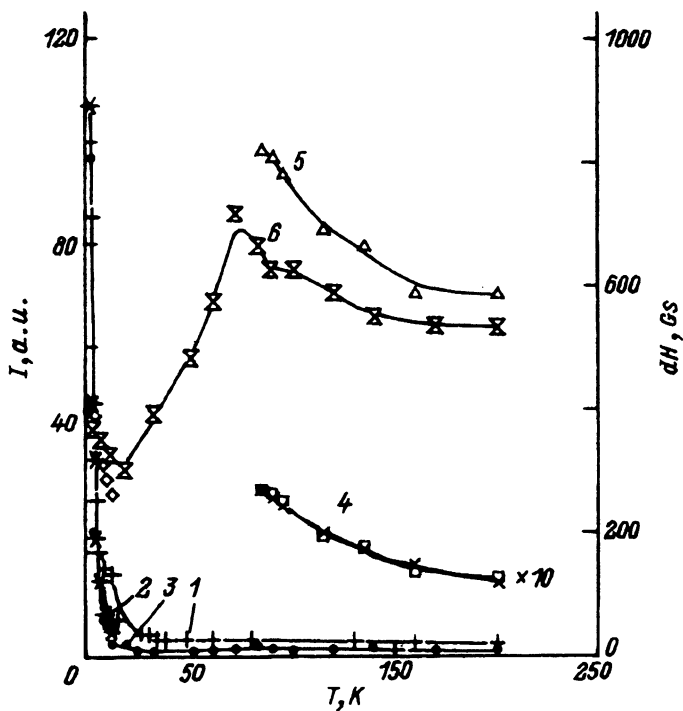


Рис. 5. Температурная зависимость интегральной интенсивности  $J$  (1-4), ширины  $\Delta H_{pp}$  линии ЭПР (5, 6) в системе  $\text{Y}_{1-x}\text{Ca}_x\text{Ba}_{1.5}\text{La}_{0.5}\text{Cu}_3\text{O}_y$ .

$x = 0.2$  (1), 0.3 (2, 5), 0.4 (3, 6). 4 — кривая 2 в увеличенном масштабе в области высоких температур, сплошная кривая — зависимость  $J \sim T^n$  при  $n = -1$ .

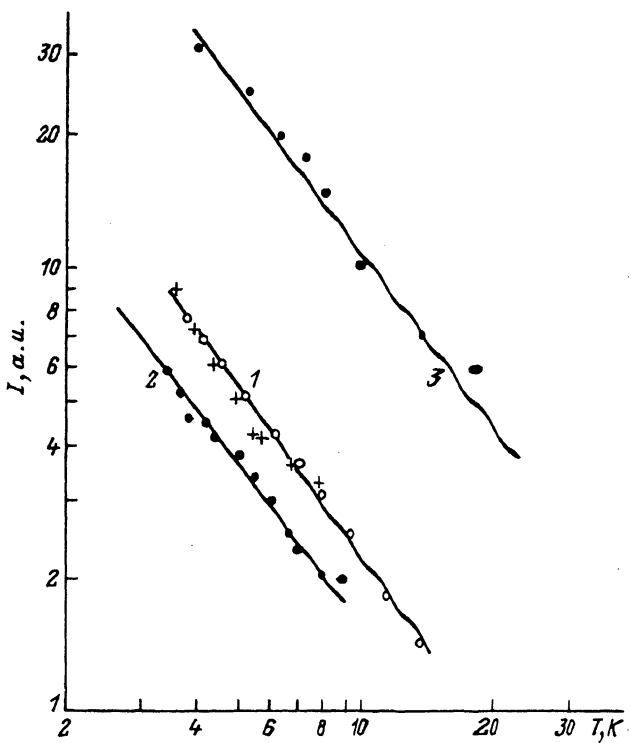


Рис. 6. Температурные зависимости интенсивности линий ЭПР в системах  $\text{YBa}_{2-x}\text{La}_x\text{Cu}_3\text{O}_y$  при  $x = 0$  (1) и 0.4 (2) и  $\text{Y}_{1-x}\text{Ca}_x\text{Ba}_{1.5}\text{La}_{0.5}\text{Cu}_3\text{O}_y$  при  $x = 0.2$  (3) в области низких температур.

«узкая» линия в области  $g \sim 2$  (рис. 3, d). Это, по-видимому, связано с конкретными технологическими условиями, при которых проводился синтез соединения. Сильное влияние парамагнитных ионов на температуру фазового перехода позволяет предположить, что спектр ЭПР в сверхпроводящих твердых растворах по крайней мере при низких температурах обусловлен ионами  $\text{Cu}^{2+}$  из плоскости  $\text{CuO}_2$  Y-системы. Это предположение подтверждается также возникновением магнитного порядка в системах I и II, которое будет обсуждаться ниже.

В качестве примера на рис. 5 приведены температурные зависимости интегральной интенсивности и ширины линии ЭПР для ряда образцов системы II. Обращают на себя внимание сужение линии при понижении температуры в области сверхпроводящего состояния и резкое возрастание интенсивности при понижении температуры в области  $T < 10$  К, сопровождающееся смещением линии ЭПР в область слабых полей. Более подробно температурные зависимости интенсивности для ряда образцов систем I и II представлены на рис. 6. Как видно из этого рисунка, во всех образцах в интервале температур 4–10 К интегральная интенсивность зависит от температуры по закону

$$J \sim (T - T_c^*)^{-n}, \quad (1)$$

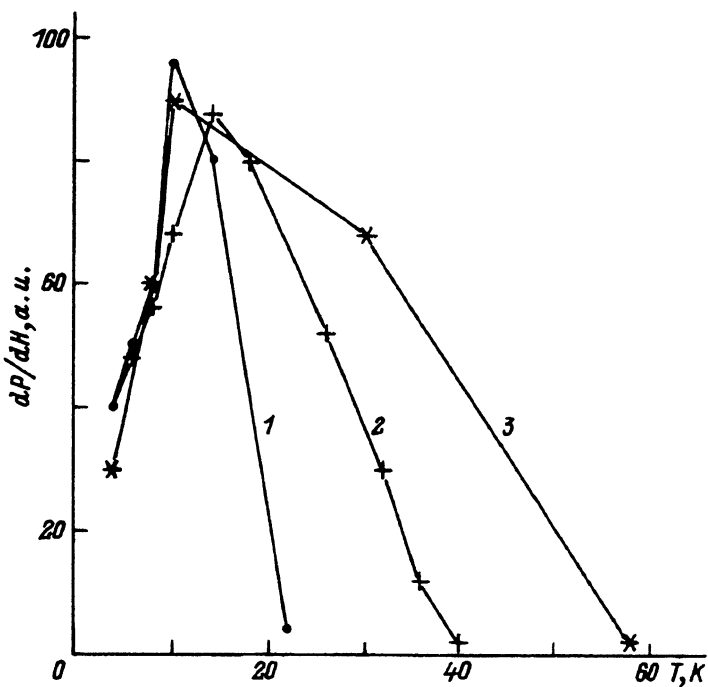


Рис. 7. Температурная зависимость микроволнового поглощения в системе  $Y_{1-x}Ca_xBa_{1.5}La_{0.5}Cu_3O_y$ .  
 $x = 0$  (1), 0.1 (2), 0.2 (3).

где  $T_c^* \sim 3$  К,  $n = 1.3$ . Уменьшение температуры ниже 4 К приводит к увеличению значения показателя  $n$ . Характерно, что в этой же области температур резко падает мощность микроволнового поглощения (рис. 7).

### 3. Обсуждение

Прежде всего необходимо обсудить причины появления ЭПР-активных центров  $Cu^{2+}$  в системах I и II. С одной стороны, интенсивность ЭПР линий коррелирует с содержанием кислорода в образцах: чем выше кислородный индекс, тем интенсивнее линия ЭПР (рис. 2). Поэтому можно было бы предположить, что при  $y > 7$  кислород дополнительно занимает свободные позиции в плоскости  $CuO_x$  элементарной ячейки. Это приводит к изменению расстояний между апикальным кислородом и атомом меди в плоскости  $CuO_2$ , в результате чего энергетические уровни  $d$ -состояний этих атомов выталкиваются из  $d$ -зоны, при этом  $d$ -уровни части ионов  $Cu(2)^{2+}$  становятся локализованными. В пользу такого предположения свидетельствует уменьшение параметра  $c$  с увеличением кислородного индекса (рис. 1).

Однако и кислородный индекс, и параметр  $c$  элементарной ячейки твердых растворов меняются монотонно, а интенсивность линии ЭПР претерпевает излом при значении кислородного индекса 7.10–7.13 (рис. 2). При этом если в системе I такой перелом можно было бы связать со структурным переходом, который наблюдается при этих

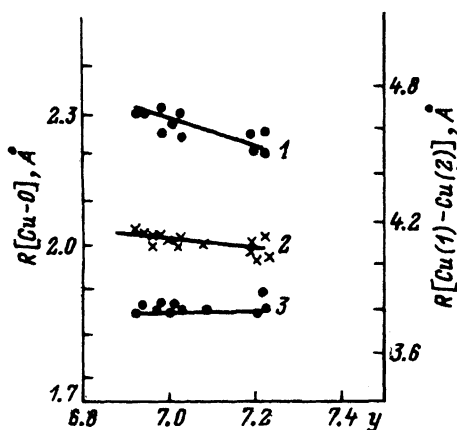


Рис. 8. Зависимость расстояний Ст-О в решетке 1-2-3 от кислородного индекса при различных замещениях в Y- и Ва-подрешетках, по данным нейтронографии [6-11].

Cu(2)-O (1), Cu(1)-Cu(2) (2), Cu(1)-O (3).

же значениях  $y$ , то в системе II структурного перехода нет, а излом на зависимости  $J(x)$  существует при значении кислородного индекса, близком к его значению в системе I.

Кроме того, как видно из рис. 5, параметры линий ЭПР при высоких температурах отличаются для двух систем твердых растворов. Можно предположить, что в системе II двухвалентный кальций, частично замещающий трехвалентный иттрий, находясь между слоями, изменяет кристаллическое поле в узлах Cu(2), что и приводит к изменению параметров линии ЭПР. Действительно, в системе I лантан, замещающий барий, находится достаточно далеко от позиций Cu(2) и не оказывает заметного влияния на спектр ЭПР ионов Cu<sup>2+</sup>(2). Тем не менее вопрос о природе излома на зависимости  $J(x)$  при  $y \approx 7.1$  остается открытым. Эта проблема, равно как и конкретный ход зависимости  $\Delta H(T)$  (рис. 5), является предметом дальнейшего изучения и анализа. Здесь же отметим, что по предварительным измерениям в образцах системы YBa<sub>2</sub>Cu<sub>3-x</sub>Co<sub>x</sub>O<sub>7+δ</sub> также с высоким индексом кислорода ЭПР Cu<sup>2+</sup> не наблюдался вообще, а в системе Eu<sub>1+x</sub>Va<sub>2-x</sub>Cu<sub>3</sub>O<sub>7+δ</sub> наблюдается ЭПР-спектр, который исчезает при  $T \sim 38$  К, что, очевидно, связано с антиферромагнитным упорядочением, возможно, в Eu-содержащей примесной фазе. При этом в области низких температур ЭПР-сигнал отсутствует. В первом случае, т.е. при частичном замещении меди кобальтом, одновременно с ростом кислородного индекса увеличивается расстояние между апикальным кислородом и Cu(2) [5], в то время как при замещениях в подрешетке бария (случай, исследованный в данной работе) при увеличении кислородного индекса расстояние Cu(2)-O<sub>ap</sub> уменьшается [6,7].

Однако, как показано на рис. 8, это уменьшение имеет монотонный характер и может объяснить линейный рост  $J(x)$  при  $x \leq 0.3$  в систе-

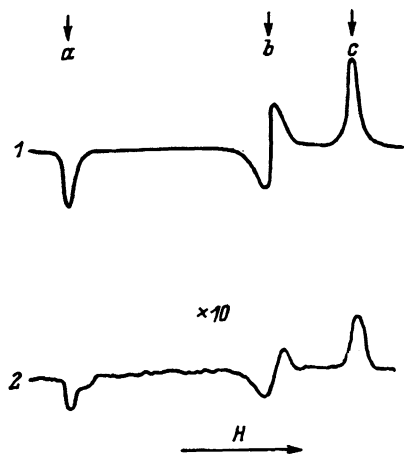


Рис. 9. Спектр ЭПР образца YBa<sub>1.6</sub>La<sub>0.4</sub>Cu<sub>3</sub>O<sub>7.14</sub> в диапазоне  $\lambda \approx 2$  мм.  
H(Ое): а — 45 516, б — 48 235, в — 49 495.

ме I и  $x \geq 0.3$  в системе II. Поскольку на рис. 2 приведены концентрационные зависимости при  $T = 200$  К, то одной из возможных причин излома на этих зависимостях может служить появление при более высоких значениях  $x$  в системе I и малых значениях  $x$  в системе II предвыделений зеленой фазы. Для ряда образцов системы I при  $x = 0.4, 0.5$  это предположение было подтверждено при предварительных исследованиях ЭПР в 2-мм диапазоне длин волн при  $T > T_c$  (рис. 9). Как видно из рис. 9, основной вклад в ЭПР-спектр образца состава  $\text{YBa}_{1.6}\text{La}_{0.4}\text{Cu}_3\text{O}_{7.14}$  дает зеленая фаза. Присутствие другого спектра  $\text{Cu}^{2+}$ , который мы относим к центрам  $\text{Cu}(2)^{2+}$ , проявляется только в низкополевой компоненте с  $g_3 < g'_3$  (зеленая фаза), что согласуется с результатами работы [12]. Авторы [12] рассчитали значения компонент  $g$ -тензора для комплекса  $\text{CuO}_5^{8-}$  из зеленой фазы и фазы 123 и показали, что они близки и наибольшее отличие в константах  $g$ -тензоров наблюдается именно для низкополевой компоненты  $g_3$ , при этом  $g_3(123) < g_3$  (зеленая фаза).

Резкое возрастание интенсивности линии ЭПР во всех образцах систем I и II в области температур  $T < 10$  К (рис. 6) обусловлено, с нашей точки зрения, магнитным упорядочением параметрических центров  $\text{Cu}^{2+}(2)$ . Действительно, вблизи ферромагнитного перехода статическая магнитная восприимчивость меняется с температурой по закону [13]

$$\chi \sim (T - T_c^M)^{-1.3}, \quad (2)$$

где  $T_c^M$  — температура магнитного фазового перехода.

Интенсивность линии ЭПР пропорциональна мнимой части комплексной восприимчивости

$$J \sim \chi'' = \chi \omega \tau / (1 + \omega^2 \tau^2), \quad (3)$$

где  $\tau$  — время релаксации,  $\omega$  — частота измерений,  $\chi$  — статическая восприимчивость. Поскольку для локального состояния  $\text{Cu}^{2+}$  с замороженным орбитальным моментом при низких температурах  $\tau^{-1} \ll \omega$ , то температурная зависимость  $\chi''$  в основном определяется температурной зависимостью статической магнитной восприимчивости. Как видно из рис. 6 и формулы (1), в интервале температур 4–10 К  $J(T)$  описывается степенной зависимостью вида (2) и, таким образом, определяется флуктуационными процессами, имеющими место вблизи магнитного фазового перехода. Оценка  $T_c^M$  для исследованных образцов твердых растворов дает значение 2–3 К.

В пользу процессов магнитного упорядочения центров  $\text{Cu}^{2+}$  в плоскости  $\text{CuO}_2$  в системах I и II свидетельствует также температурная зависимость микроволнового поглощения (рис. 7). Из рис. 7 видно, что при температурах ниже 10 К происходит резкое уменьшение мощности микроволнового поглощения, что, очевидно, связано с ухудшением сверхпроводящих свойств систем вследствие резкого возрастания параметризма вблизи магнитного фазового перехода.

Данная работа поддержана Научным советом по проблеме «Высокотемпературная сверхпроводимость» в рамках проекта № 91139 «Резонанс».

## Список литературы

- [1] Seregin N.P., Nasredinov F.S., Masterov V.S., Daribaeva G.T. // Supercond. Sci. Technol. 1991. V. 4. N 2. P. 283-287.
- [2] Baranov P.G., Badalyan A.G. // Sol. St. Commun. 1993. V. 85. N 5. P. 990-996.
- [3] Jiang-Tsu Yu, Jong-Gem Hwang, Chrong-Chu Tsai // Sol. St. Commun. 1989. V. 70. N 2. P. 167-171.
- [4] Genossar J. et al. // J. Phys.: Cond. Matter. 1989. V. 1. N 6. P. 9471-9474.
- [5] Miceli P.F., Tarascon J.M., Greene L.H. // Phys. Rev. B. 1988. V. 37. N 37. P. 5932-5935.
- [6] Mazumber S., Rajagopalt H., Sequeira A. et al. // J. Phys. C. Sol. St. Phys. 1988. V. 21. N 11. P. 5967-5976.
- [7] Grasmeder I.A., Weller M.T., Lanchester P.C., Meats C.E. // Sol. St. Ionics. 1989. V. 32-33. P. 1115-1124.
- [8] Andersson M., Rapp O., Tellgren R. // Sol. St. Commun. 1992. V. 81. N. 2. P. 425-429.
- [9] Sunshine S.A., Schneemeyer L.F., Waszcak I.V. et al. // J. Cryst. Growth. 1987. V. 85. N 2. P. 632-638.
- [10] , Izumi, Eiji Takayama-Miromachi, Michiko Kobayashi et al. // Jap. J. Appl. Phys. V. 27. N 5. P. L824-L826.
- [11] Mochiku T., Asano H., Akinaga H. et al. // Physica C. 1990. N 2. P. 560-566.
- [12] Черанев А.И., Розов С.П., Миронов В.С., Барсова Л.И. // СФХТ. 1990. Т. 3. № 6. С. 1009-1014.
- [13] Бонсовский С.В. Магнетизм. М.: Наука, 1971. 1032 с.

Санкт-Петербургский  
государственный технический университет

Поступило в Редакцию  
28 декабря 1993 г.